Projekt-ID: BGA-073



# **BLENDGUTACHTEN**

### **PVA DRENKOW**

VERSION 1.0

#### Bearbeitet:

Sachverständiger für Photovoltaik Mathias Röper, M. Eng.

Achter de Schün 1 D-25436 Moorrege +49 4122 509100 mathias.roeper@sonnwinn.de www.sonnwinn.de

Moorrege 25.07.2024

## Revisionstabelle

Version	Änderung	Datum	Name
1.0	Erste Fassung	25.07.2024	Mathias Röper

Das Gutachten ist nur in seiner aktuellen Fassung gültig.

## Inhaltsverzeichnis

1	Ei	nleitung	3
	1.1	Fragestellung	3
	1.2	Haftungsausschluss	3
	1.3	Datengrundlage	3
	1.4	Übersicht der angewendeten Methodiken	4
2	Ar	nlagenbeschreibung	5
3	Zι	usammenfassung der Ergebnisse	8
4	Gr	rundlagen	9
	4.1	Blendwirkung von Modulen	9
	4.2	Berechnung von Reflexionen	11
	4.3	Verwendete Software, Annahmen und Limitationen	11
5	Bl	endwirkungen auf Gebäude	12
	5.1	Auswertungsmethodik	12
	5.2	Schutzwürdige Räume in der Umgebung der PVA	13
6	Ble	endwirkungen auf Verkehrswege	14
	6.1	Auswertungsmethodik	14
	6.2	Relevante Verkehrswege	16
	6.3	Observationspunkte	17
	6.4	Ergebnisse	18
7	Di	iskussion der Ergebnisse	21
	7.1	Gebäude	21
	7.2	Straßen	21
8	Lit	teraturverzeichnis	25
Α	nhan	g A: Annahmen und Limitationen von SGHAT	26

## 1 Einleitung

Herr Mathias Röper, Sachverständiger für Photovoltaik, wurde beauftragt, die möglichen Blendwirkungen folgender Photovoltaikanlage (PVA) zu untersuchen und zu bewerten:

Tabelle 1: Projektübersicht

Auftraggeber	WI Energy Entwicklungs GmbH		
	Rote Hohl 10		
	D-56729 Kehrig		
Projektname	PVA Drenkow		
Adresse	Gemarkung Drenkow, Suckow		
	bei 16949 Putlitz		
Stand der Projektierung	☐ Bestand   ☐ Im Bau   ⊠ Planung		

#### 1.1 Fragestellung

Es stellt sich die Frage, ob die Solarmodule der geplanten Photovoltaikanlage Sonnenlicht so reflektieren, dass erhebliche Belästigungen bzw. Beeinträchtigungen für folgende Immissionsorte auftreten können:

- Schutzwürdige Räume (z. B. Wohnräume)
- Straßenverkehr

Dieses Gutachten dient der Beantwortung dieser Frage und stellt dar, ob und mit welcher Häufigkeit belästigende bzw. beeinträchtigende Blendwirkungen auftreten können. Zudem werden die Ergebnisse bewertet.

#### 1.2 Haftungsausschluss

Dieser Bericht wurde ausschließlich für den Gebrauch des Auftraggebers und in dessen Auftrag erstellt. Die Berechnungen und Auswertungen erfolgten nach bestem Wissen und Gewissen. Trotz sorgfältiger Durchführung können Fehler oder Irrtümer nicht vollständig ausgeschlossen werden. Für Folgeschäden, die aus der Nutzung des Gutachtens resultieren, wird keine Haftung übernommen. Die Haftung für Schadensersatz bei grober Fahrlässigkeit oder Vorsatz bleibt unberührt. Bei Weitergabe des Gutachtens an Dritte darf dieses weder verändert noch bearbeitet werden. Eine Haftung gegenüber Dritten, die sich den Inhalt dieses Gutachtens zunutze machen, ist grundsätzlich ausgeschlossen.

## 1.3 Datengrundlage

Tabelle 2: Verwendete Daten/Informationen und ihre Quellen

Information/Daten	Quelle		
Angaben zur geplanten PVA	Auftraggeber		
Umliegende Vegetation	Google Earth Pro, OpenStreetMap		
Umliegende Bebauung			
Höhendaten (DGM1)	Landesamt für innere Verwaltung		
	Geschäftsbereich des Ministeriums für Inneres, Bau		
	und Digitalisierung des Landes Mecklenburg-		
	Vorpommern		

## 1.4 Übersicht der angewendeten Methodiken

Die Auswertung der Blendwirkungen auf die Immissionsorte wurde entsprechend folgender Tabelle durchgeführt.

Tabelle 3: Methodiken

Immissionsort	Methodik
Schutzbedürftige Räume (Wohnräume,	Gemäß dem Leitfaden der Bund/Länder-
Büros etc.)	Arbeitsgemeinschaft für Immissionsschutz (LAI-Leitfaden) [1]
Verkehrswege	Eigene Auswertungsmethodik (siehe Kapitel 6)

## 2 Anlagenbeschreibung

Die geplante PVA besteht aus zwei PV-Flächen. Die Fläche nördlich der Autobahn wird als Fläche Nord und die Fläche südlich der Autobahn als Fläche Süd bezeichnet.

Tabelle 4: Relevante Anlagenparameter

Parameter	Angabe/Wert	
Geokoordinaten (Breite, Länge)	53.298206,11.989014	
Art der Anlage	Freiflächenanlage	
Modultyp	Si-kristallines Modul mit	
	Antireflexbeschichtung	
Aufständerung	Fest aufgeständert	
PV-Fläche	Fläche Nord: ca. 8 ha	
	Fläche Süd: ca. 30 ha	
Nennleistung (DC)	-	
Modulausrichtung (Azimut)	Fläche Nord: 90°/270° Ost-West	
	Fläche Süd: 180° Süd	
Modulneigung	15°	
Höhe Modulunterkante	0,8 m	
Höhe Moduloberkante	Fläche Nord: 2,59 m	
	Fläche Süd: 2,44 m	



Abbildung 1: Grundriss der PV-Flächen - Quelle Satellitenbild: Google Earth Pro

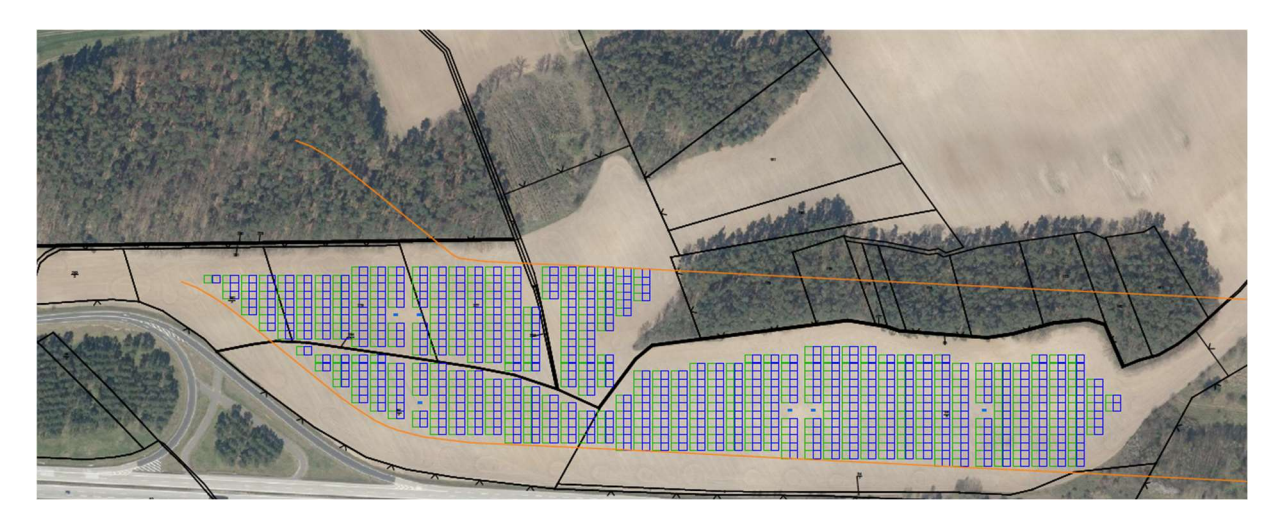


Abbildung 2: Belegungsplan Fläche Nord - Quelle: Auftraggeber

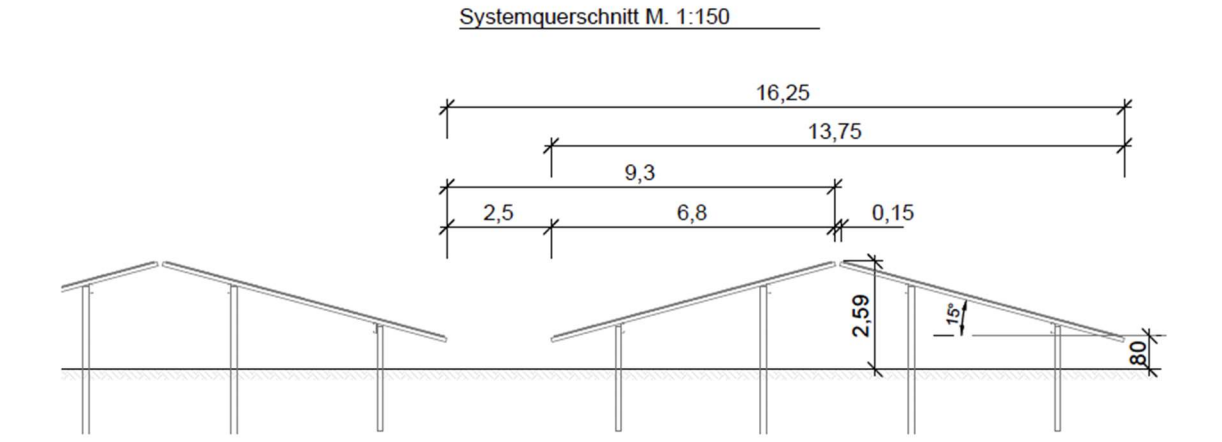


Abbildung 3: Schnitt Modultische Fläche Nord - Quelle: Auftraggeber



Abbildung 4: Belegungsplan Fläche Süd - Quelle: Auftraggeber

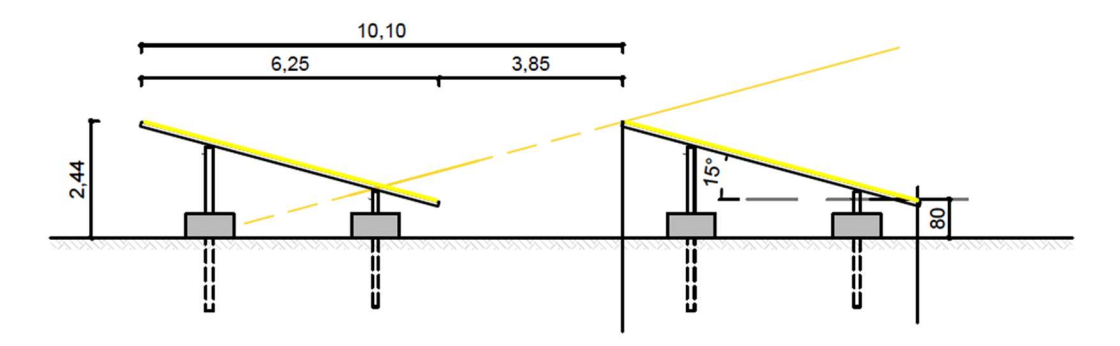


Abbildung 5: Schnitt Modultische Fläche Süd - Quelle: Auftraggeber

## 3 Zusammenfassung der Ergebnisse

Im relevanten Umfeld (100 m Radius) der Photovoltaikanlage befinden sich keine Gebäude. Demnach können keine Belästigungen durch Blendwirkungen in schutzwürdigen Räumen wie Wohnräumen entstehen.

Im Umfeld der Photovoltaikanlage wurden als relevante Verkehrswege die Bundesautobahn A 24 sowie die B 321 und die L 111 identifiziert. Auf den Fahrbahnen der A 24 werden keine Blendwirkungen erwartet (geometrisch betrachtet konnten keine Reflexionen auf die A 24 identifiziert werden). Auf der B 321 und L 111 bleibt das zentrale Sichtfeld von ± 30°, bezogen auf die Fahrtrichtung, stets blendfrei, sodass erhebliche Blendwirkungen ausgeschlossen werden können.

Lediglich auf den Auf- und Abfahrten der A 24 können störende Blendwirkungen im zentralen Sichtfeld der Fahrzeugführer auftreten.

Auf der Zufahrt westlich der nördlichen PV-Fläche könnte entlang der westlichen Anlagengrenze ein ca. 3 m hoher Sichtschutz alle Blendwirkungen in diesem Bereich unterbinden.

Zudem ist die Ausfahrt der A 24 in Fahrtrichtung Osten im Wesentlichen im Kreuzungsbereich mit der B 321 von relevanten Blendwirkungen betroffen. Fahrzeugführer, die Richtung Osten fahren und sich kurz vor der Kreuzung bzw. an der Kreuzung befinden und nach Osten blicken, können im zentralen Sichtfeld geblendet werden. Zwar bleiben die Abbiegerichtungen (Straßenverlauf B 312/L 111) blendfrei, jedoch können die Blendwirkungen hier störend wirken. Es sollte daher auch an dieser Position ein Sichtschutz in Betracht gezogen werden. Aufgrund des Höhenunterschieds (Kreuzungsbereich/PVA) müsste ein Sichtschutz hier sehr hoch ausfallen, sodass ggf. mit einer Bepflanzung effektiver gearbeitet werden kann als mit einer baulichen Konstruktion.

## 4 Grundlagen

#### 4.1 Blendwirkung von Modulen

Ein PV-Modul setzt sich aus zahlreichen Solarzellen zusammen, die Sonnenlicht in elektrische Energie umwandeln. Um Stabilität zu gewährleisten und vor Witterungseinflüssen zu schützen, sind die Solarzellen normalerweise hinter einer Glasscheibe (Modulglas) angebracht. Das Modulglas ist maßgeblich für mögliche Blendwirkungen verantwortlich. Da die erzeugte elektrische Energie in direktem Verhältnis zur Intensität der Sonneneinstrahlung auf die Solarzellen steht, bemühen sich Modulhersteller, Reflexionen am Modulglas zu reduzieren – je weniger Reflexionen, desto höher der Ertrag. Daher verfügt das Modulglas typischerweise über eine spezielle Oberflächentexturierung und eine sogenannte Antireflexschicht. Beide Elemente gewährleisten, dass möglichst viel Licht auf die Solarzellen trifft und Reflexionsverluste minimiert werden [2].

Daher reflektieren Solarmodule bei geringen Einfallswinkeln  $\theta$  (siehe Abbildung 6) lediglich einen kleinen Teil des Sonnenlichts (etwa 5 %). Studien zeigen jedoch, dass trotz Texturierung und Antireflexbeschichtung der Anteil des reflektierten Sonnenlichts mit ansteigendem Einfallswinkel exponentiell zunimmt (siehe Abbildung 7).

Da bereits Reflexionen von weniger als 1 % des Sonnenlichts zu einer Absolutblendung führen können [1], müssen demnach Einfallswinkel berücksichtigt werden.

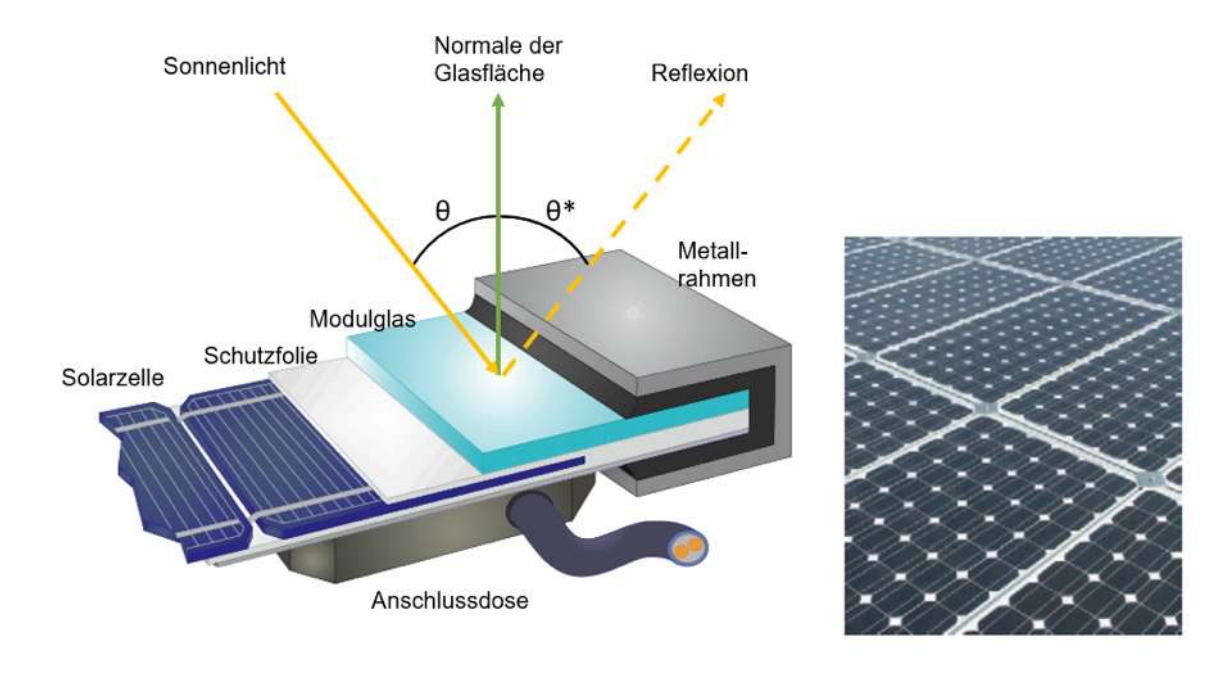


Abbildung 6: Aufbau eines PV-Moduls und Darstellung des Reflexionsgesetzes "Einfallswinkel = Ausfallswinkel" - Quelle: [3] (modifiziert)

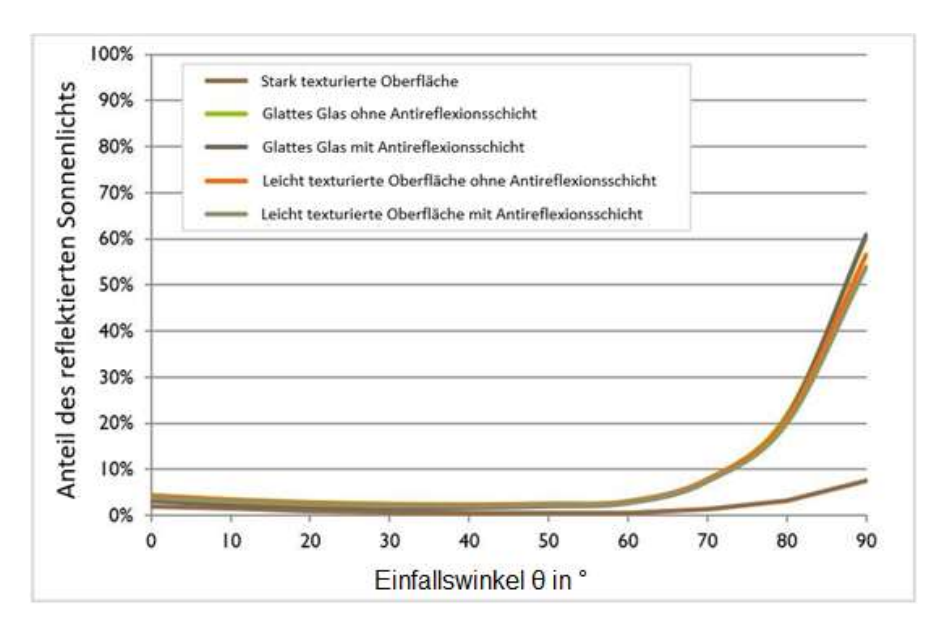


Abbildung 7: Anteil des reflektierten Sonnenlichts in Abhängigkeit zum Einfallswinkel, dargestellt für unterschiedliche Modulglastypen - Quelle: [4], modifiziert

Die Oberflächentexturierung des Modulglases bewirkt eine weniger intensive, aber diffuse (gestreute) Reflexion des Sonnenlichts, wodurch der Immissionsort der Reflexion vergrößert wird. Daher sind die Intensitäten von Reflexionen an Solarmodulen nicht mit denen an beispielsweise glatten Fensterscheiben vergleichbar, bei denen das Sonnenlicht gerichteter reflektiert wird. Neue PV-Module verfügen in der Regel über eine Antireflexbeschichtung und zumindest eine leicht texturierte Oberfläche. Dies gilt auch für den später verwendeten Modultyp.



Abbildung 8: Veranschaulichung der Reflexion an einem texturierten Modulglas (mitte-links) und einem glatten Modulglas (mitte-rechts) - Quelle Aufnahme: Fraunhofer-Institut für Solare Energiesysteme ISE

#### 4.2 Berechnung von Reflexionen

Reflexionen an PV-Modulen können geometrisch hergeleitet werden. Hierzu werden die Module, die relevanten Immissionsorte und die Sonne in einem gemeinsamen Koordinatensystem modelliert [1]. Der standortbezogene Sonnenverlauf kann für jeden Zeitpunkt im Jahr auf Basis mathematischer Funktionen ermittelt werden [5]. Durch Winkelbeziehungen und Strahlungsgesetze lässt sich nachvollziehen, wo und wann Blendwirkungen auftreten. Die Berücksichtigung von modulglasspezifischen Streuwinkeln und Reflexionskoeffizienten ermöglicht eine noch präzisere Betrachtung [4].

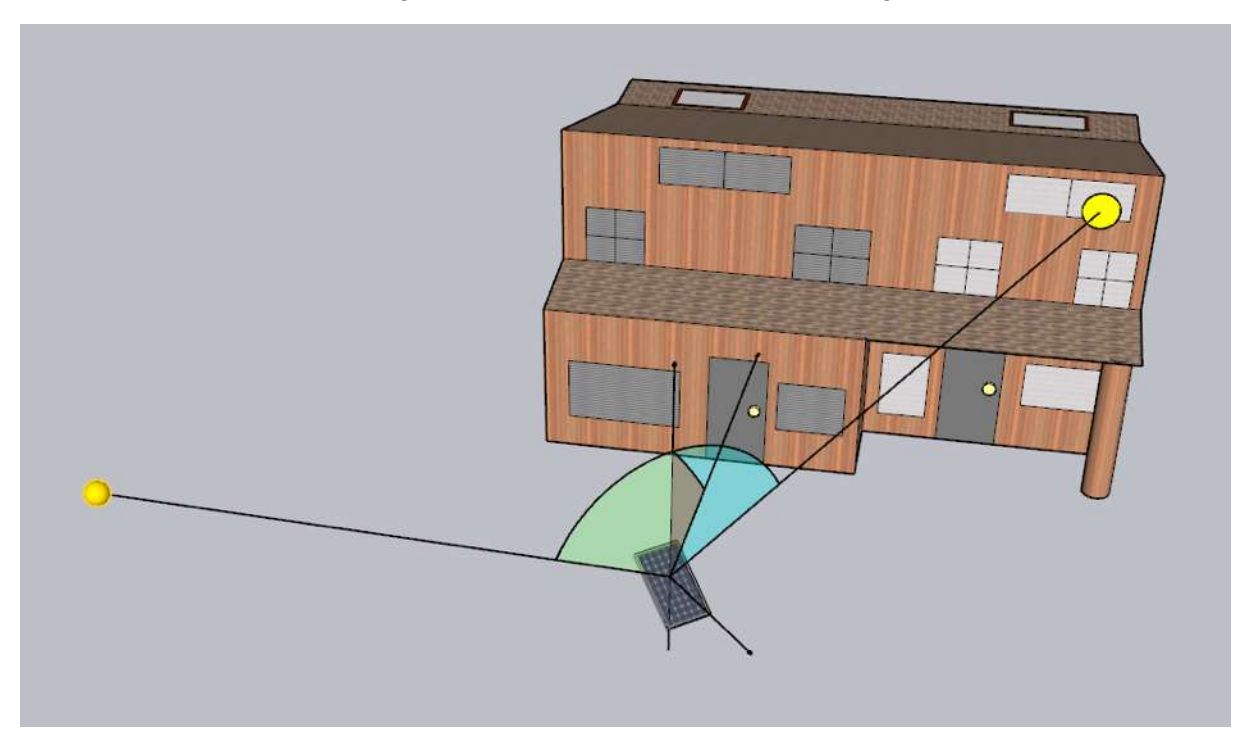


Abbildung 9: Veranschaulichung der geometrischen Herleitung einer Reflexion - Quelle: Eigene Abbildung

#### 4.3 Verwendete Software, Annahmen und Limitationen

Für die Berechnungen der Reflexionen/Blendwirkungen wurde die Software ForgeSolar verwendet. Dabei wurden die Reflexionen/Blendwirkungen der PVA mit einer zeitlichen Auflösung von einer Minute für ein ganzes Jahr berechnet. Die Software basiert auf dem "Solar Glare Hazard Analysis Tool" (SGHAT) der Sandia National Laboratories. Im Rahmen der Simulation werden die Höhendaten der PV-Fläche sowie der Immissionsorte berücksichtigt. Die Simulation basiert auf der Annahme eines immer klaren Himmels. Demnach wird ein abstrakter Worst-Case betrachtet.

Obwohl ForgeSolar zu den etabliertesten und professionellsten Programmen gehört, um PVA-bedingte Blendwirkungen zu berechnen, kann die Realität nur vereinfacht dargestellt werden. Somit werden die Generatorfelder als Ebenen zusammengefasst, abweichende Modulausrichtungen im Feld (z. B. Modultische, die aufgrund der Topografie eine Neigung entlang der Tischachse besitzen und somit die effektive Ausrichtung der Module beeinflussen) teilweise verloren gehen. Die Limitationen der Software werden nach Möglichkeit durch zusätzliche Berechnungen kompensiert und die Ergebnisse stets validiert. Dennoch können Abweichungen von der späteren Realität nicht ausgeschlossen werden.

Eine weiterführende Auflistung der Annahmen und Einschränkungen bzgl. der Simulation befindet sich in Anhang A.

### 5 Blendwirkungen auf Gebäude

#### 5.1 Auswertungsmethodik

Die Auswertung der Blendwirkungen auf umliegende Gebäude (inkl. Terrassen und Balkone) basiert auf dem Leitfaden der Bund/Länder-Arbeitsgemeinschaft für Immissionsschutz (LAI) [1].

Der LAI-Leitfaden benennt als maßgebliche Immissionsorte schutzbedürftige Räume, sofern sie zu einer der folgenden Kategorien gehören:

- Wohnräume
- Schlafräume (einschließlich Übernachtungsräume in Beherbergungsstätten und Bettenräume in Krankenhäusern und Sanatorien)
- Unterrichtsräume in Schulen, Hochschulen und ähnlichen Einrichtungen
- Büroräume, Praxisräume, Arbeitsräume, Schulungsräume und ähnliche Arbeitsräume
- An relevanten Gebäuden anschließende Außenflächen (z. B. Terrassen und Balkone)

Räume, die keiner dieser Kategorien zuzuordnen sind, wurden im Rahmen des Gutachtens nicht auf Blendwirkungen untersucht.

Gemäß dem LAI-Leitfaden gelten (ca.) 100 Meter als räumlicher Grenzwert: Liegt ein Immissionsort weiter als 100 Meter von der PVA entfernt, können erhebliche Belästigungen in der Regel ausgeschlossen werden.

Laut dem LAI-Leitfaden soll zur Ermittlung der Blendzeiten ein vereinfachtes (idealisiertes) Modell verwendet werden, bei dem die Solarmodule als ideal verspiegelte Flächen dargestellt werden. Da eine Spiegelfläche das Sonnenlicht gerichtet reflektiert, findet keine oder nur eine sehr geringe Streuung des Sonnenlichts statt. Je geringer die Streuung, desto kürzer sind die Blendzeiten. In der Simulation wird jedoch ein realistisches Modell verwendet, das die oberflächenspezifischen Eigenschaften realer Solarmodule berücksichtigt. Um dennoch eine Bewertung nach dem LAI-Leitfaden zu ermöglichen, werden die Blendwirkungen, die lediglich mit dem vereinfachten Modell ermittelt würden, als "Kernblendung" und die übrigen als "gestreute Reflexion" bezeichnet und stets differenzierbar dargestellt (sofern relevante Blendwirkungen auftreten).

Zudem sind laut dem Leitfaden Reflexionen, die am Immissionsort mit einem Differenzwinkel ≤ 10° zur direkten Sonneneinstrahlung auftreten, nicht als relevante Blendungen zu betrachten. Dies berücksichtigt den Umstand, dass bei tiefstehender Sonne PVA-bedingte Blendwirkungen von der direkten Sonneneinstrahlung überlagert werden.

Laut dem LAI-Leitfadens liegt eine erhebliche Belästigung durch PVA-bedingte Blendwirkungen vor, wenn ein schutzwürdiger Raum mehr als 30 Minuten pro Tag und/oder 30 Stunden (1.800 Minuten) pro Jahr *Kernblendungen* erfährt.

Es hat sich bewährt, in der Simulation nicht jedes einzelne Gebäude in der Umgebung der PVA auszuwerten, sondern lediglich die nächstgelegenen in verschiedenen Himmelsrichtungen. Im Rahmen der Simulation wird darauf geachtet, die potenziell am stärksten betroffenen schutzbedürftigen Räume zu analysieren (Worst-Case-Betrachtung).

In der Simulation werden keine Hindernisse wie Vegetationsstreifen oder Gebäude berücksichtigt. In der Diskussion (Kapitel 7) werden Hindernisse jedoch ggf. berücksichtigt.

#### 5.2 Schutzwürdige Räume in der Umgebung der PVA

Ab einem Abstand zwischen Immissionsort (z. B. Wohngebäude) und einer PVA von 100 m können erhebliche Belästigungen (i. d. R.) pauschal ausgeschlossen werden [1].

Abbildung 10 veranschaulicht den Bereich, der 100 Meter oder näher an der Photovoltaikanlage liegt.

Es lässt sich feststellen, dass sich im Umkreis von 100 Metern keine schutzwürdigen Gebäude befinden. Erhebliche Belästigungen in schutzwürdigen Räumen können somit ausgeschlossen werden. Eine weiterführende Betrachtung ist in dieser Hinsicht nicht erforderlich.



Abbildung 10: Übersicht der 100-Meter-Zone - Quelle Satellitenbild: Google Earth Pro

### 6 Blendwirkungen auf Verkehrswege

#### 6.1 Auswertungsmethodik

Vorgaben zur Bewertung der Blendwirkungen von Photovoltaikanlagen auf Verkehrswege (Straßen und Bahnstrecken) sind in keiner Norm, Leitlinie oder sonstigen Regelwerken definiert bzw. standardisiert und werden auch im LAI-Leitfaden nicht thematisiert. Die Bewertung der Blendwirkungen auf die umgebenden Verkehrswege erfolgte daher auf der Grundlage wissenschaftlicher Erkenntnisse und etablierter Verfahren, die im Folgenden dargestellt werden.

Zur Beurteilung der Blendwirkungen durch Photovoltaikanlagen auf Verkehrswege ist es gängige Praxis, ein oder mehrere Sichtfelder von Fahrzeugführern (Kraftfahrzeug- und Lokführer) zu definieren, welche sich dann durch ihre Relevanz bezüglich Blendwirkungen unterscheiden. Anschließend wird mittels Simulation geprüft, ob Reflexionen in diesen Sichtfeldern auftreten. Es wird dabei angenommen, dass die Blickrichtung eines Fahrzeugführers mit der Fahrtrichtung übereinstimmt [6].

Es wird zwischen folgenden Sichtfeldern bzw. Sichtfeldgrenzen unterschieden (siehe Abbildung 11 für eine grafische Darstellung):

- Erheblichkeitsgrenze: In Anlehnung an [6] und [7] wird eine Erheblichkeitsgrenze von ± 30°, bezogen auf die Fahrtrichtung, definiert. Finden Reflexionen außerhalb dieses Sichtfeldes statt, so führen diese i. d. R. zu keinen erheblichen Beeinträchtigungen.
- Beeinträchtigungsgrenze: In Anlehnung an [8] wird zudem eine Beeinträchtigungsgrenze von ± 50°, bezogen auf die Fahrtrichtung, definiert. Finden Reflexionen außerhalb dieses Sichtfeldes statt, so führen diese i. d. R. zu keinen Beeinträchtigungen. Demnach wird diesen Reflexionen im Rahmen des Gutachtens bei normaler Fahrt keine Blendwirkung (im Sinne einer nennenswerten physiologischen Beeinträchtigung) zugeschrieben.
- **Ausnahme Bahnstrecken**: Für Lokführer wird eine gemeinsame Erheblichkeits- und Beeinträchtigungsgrenze von ± 30° angesetzt.

Für die Analyse der Blendwirkungen auf den Straßenverkehr genügt es, lediglich LKW-Fahrer zu betrachten, da diese höher sitzen als PKW-Fahrer - und höher gelegene Immissionsorte generell stärkeren Blendwirkungen ausgesetzt sind (somit der Worst-Case betrachtet).

Des Weiteren gelten PVA-bedingte Blendwirkungen selbst innerhalb der Erheblichkeitsgrenze als vernachlässigbar (irrelevant), wenn die verursachenden Reflexionen mit einem Differenzwinkel ≤ 10° zur direkten Sonneneinstrahlung auftreten und gleichzeitig der Höhenwinkel der Sonne ≤ 5° beträgt. Wenn beide Kriterien erfüllt sind, überlagert die Sonne die Blendwirkung der PVA aus der gleichen Richtung (definiert in Anlehnung an [1]) und kann in der Regel nicht mehr durch eine Blende abgeschirmt werden (Annahme). Die Reflexionen der PVA stellen dann keine zusätzliche Beeinträchtigung dar.

In der Simulation werden keine Hindernisse wie Vegetationsstreifen oder Gebäude berücksichtigt. In der Diskussion (Kapitel 7) werden Hindernisse jedoch ggf. berücksichtigt.

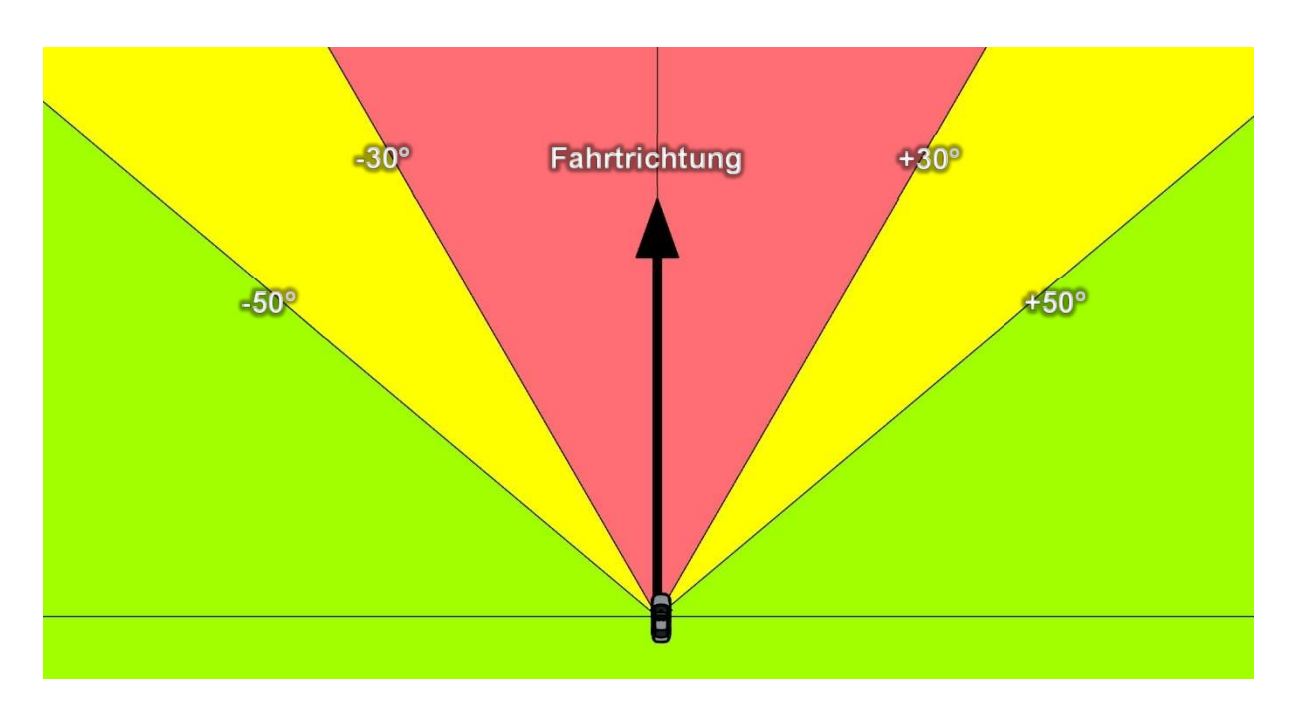


Abbildung 11: Definierte Sichtfelder eines Fahrzeugführers – Quelle: Eigene Abbildung

Die folgenden Abbildungen zeigen die geschätzten Augenhöhen der Verkehrsteilnehmer. Diese Angaben sind im Rahmen der Simulation relevant (siehe Kapitel 6.3).

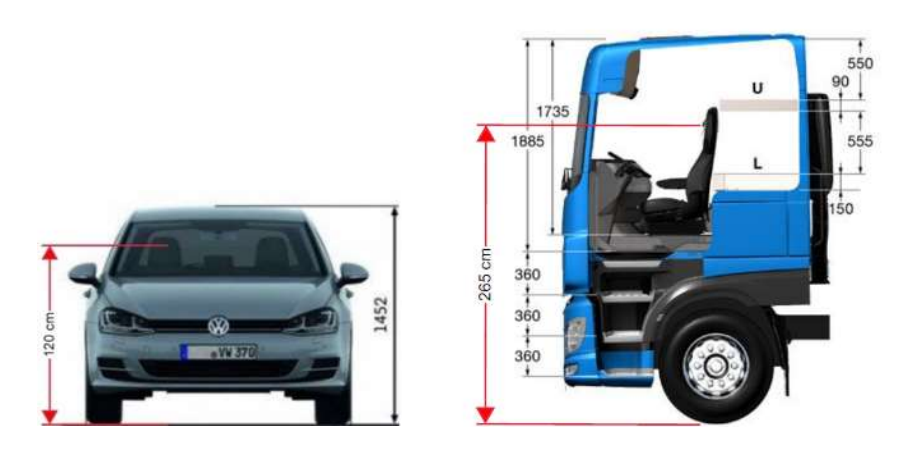


Abbildung 12: Augenhöhe der Straßenverkehrsteilnehmer – Quelle: Volkswagen AG (modifiziert), BTS GmbH & Co. KG (modifiziert)

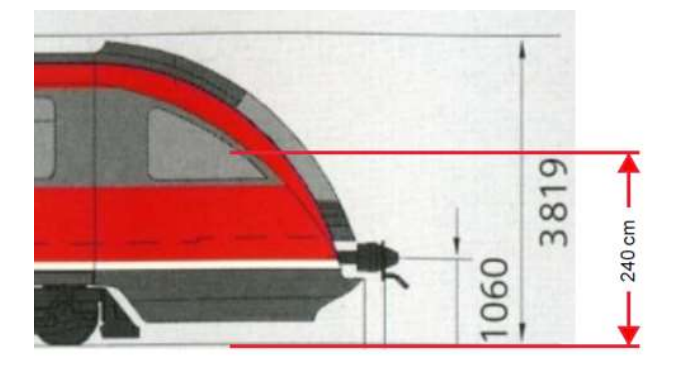


Abbildung 13: Augenhöhe von Lokführern – Quelle: www.nahverkehr-franken.de (modifiziert)

#### 6.2 Relevante Verkehrswege

Im Umfeld der Photovoltaikanlage wurden als relevante Verkehrswege die Bundesautobahn A 24 sowie die B 321 und die L 111 identifiziert.

Wirtschaftswege oder nur sporadisch befahrene Straßen und Zuwegungen wurden aufgrund des geringen Verkehrsaufkommens als nicht relevant eingestuft und deshalb in der Analyse nicht weiter berücksichtigt.



Abbildung 14: Positionen der als relevant eingestuften Verkehrswege - Quelle Karte: OpenStreetMap

#### 6.3 Observationspunkte

Zur Bewertung der Blendwirkungen auf die relevanten Verkehrswege wurden spezifische "Observationspunkte" (OP) definiert, die in der Simulation als Detektionspunkte für auftreffende Reflexionen dienen.

Insgesamt wurden 25 OP zur Analyse der Blendwirkungen auf die Verkehrswege festgelegt:

- OP A1 bis A8 f

  ür den Verkehr auf der A 24 Richtung Osten.
- OP A9 bis A15 für den Verkehr auf der A 24 Richtung Westen.
- OP A16 bis A19 für den Verkehr auf den Autobahn-Zu- und Abfahrten nördlich der A 24.
- OP L1 bis L5 für den Verkehr auf der L 111.
- Für den Kreuzungsbereich Autobahnabfahrt/L111.

Die OP sind in einer Höhe von 2,65 m über dem Straßenniveau angebracht, entsprechend der Augenhöhe eines LKW-Fahrers.

Abbildung 15 zeigt die Positionen der Observationspunkte.



Abbildung 15: Positionen der OP auf den Verkehrswegen - Quelle Karte: OpenStreetMap

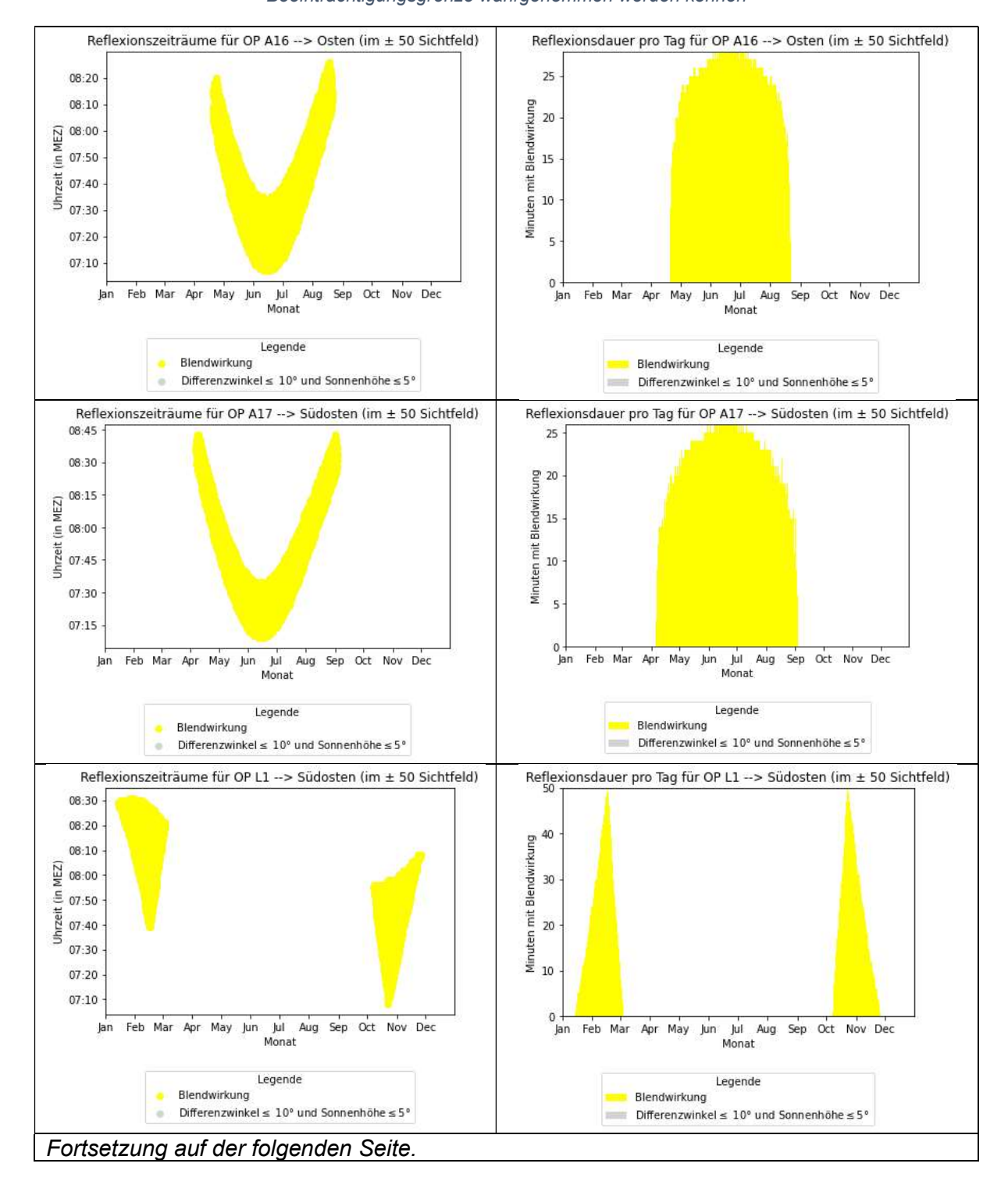
## 6.4 Ergebnisse

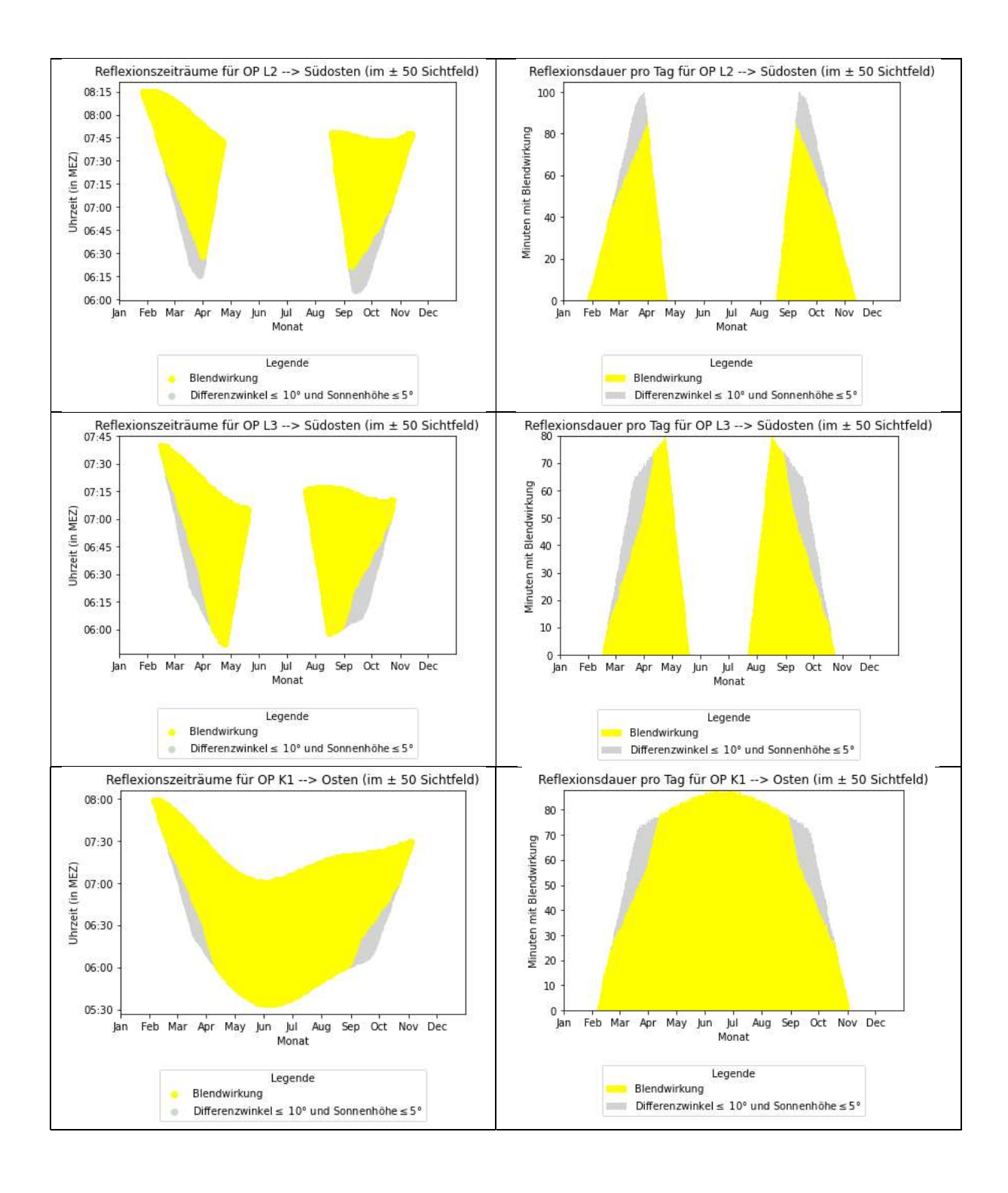
Tabelle 5: Übersicht der Simulationsergebnisse für die Observationspunkte auf den Verkehrswegen

Verkehrs -weg	OP	Fahrt- richtung	Min. Winkel zwischen Fahrtrichtung und Blendquelle (ca.)	Werden die Blendwirkungen innerhalb der Beeinträchtigungs- grenze vollständig von der Sonne überlagert?	Anmerkung
A 24	A1 A2 A3 A4 A5 A6 A7 A8 A9 A10	Osten	-	-	Keine Reflexionen.
	A11 A12 A13 A14 A15				
Auf-/Ab-	A16	Osten	5°	nein	-
fahrten		Westen	> 90°	-	-
1	A17	Südosten	5°	nein	-
		Nordwesten	> 90°	-	-
	A18	Südosten	53°	-	-
	A19	Nordwesten	> 90°	-	-
L 111 /	L1	Nordwesten	> 90°	-	-
B312		Südosten	40°	nein	-
	L2	Nordwesten	> 50°	-	-
		Südosten	40°	nein	-
	L3	Nordwesten	> 50°	-	-
		Südosten	35°	nein	-
	L4	Nordwesten	-	-	Keine Reflexionen.
		Südosten	> 50°	-	-
	L5	Nordwesten	-	-	Keine Reflexionen.
		Südosten	> 50°	-	-
Kreuzung Abfahrt / L111 / B312	K1	Osten	3°	nein	
			L	EGENDE	

Relevante Blendwirkungen innerhalb der Erheblichkeitsgrenze
Relevante Blendwirkungen innerhalb der Beeinträchtigungsgrenze (aber außerhalb der Erheblichkeitsgrenze)
Relevante Blendwirkungen außerhalb der Beeinträchtigungsgrenze / keine (relevanten) Reflexionen

Ergebnisdiagramme 1: Reflexionen zu den OP auf den Verkehrswegen, sofern diese innerhalb der Beeinträchtigungsgrenze wahrgenommen werden können





## 7 Diskussion der Ergebnisse

#### 7.1 Gebäude

Im relevanten Umfeld (100 m Radius) der Photovoltaikanlage befinden sich keine Gebäude. Demnach können keine Belästigungen durch Blendwirkungen in schutzwürdigen Räumen wie Wohnräumen entstehen.

#### 7.2 Straßen

Im Umfeld der Photovoltaikanlage wurden als relevante Verkehrswege die Bundesautobahn A 24 sowie die B 321 bzw. L 111 identifiziert.

#### 7.2.1 Bundesautobahn A 24

Auf der A 24 selbst können keine Blendwirkungen entstehen. Geometrisch betrachtet treffen keine Reflexionen auf die Fahrbahn. Davon ausgenommen sind die Auf- und Abfahrten. Die Auf- und Abfahrten, bei denen Blendwirkungen auftreten können, werden im Folgenden gesondert betrachtet.

#### 7.2.2 Auffahrt A 24 Richtung Westen

Auf der Auffahrt auf die A 24 Richtung Westen, welche westlich des nördlichen PV-Feldes liegt, können Fahrzeugführer im Bereich kurz nach der B 321 in Fahrtrichtung Osten im zentralen Sichtfeld (± 30°, bezogen auf die Fahrtrichtung) geblendet werden. Hier können demnach erhebliche Blendwirkungen nicht ausgeschlossen werden.

Die Blendwirkungen ließen sich hier mit einem ca. 3 m hohen Sichtschutz entlang der westlichen Anlagengrenze des nördlichen PV-Feldes unterbinden. Wenn der Sichtschutz durch einen Zaun mit Sichtschutzelementen realisiert wird, so können die unteren 80 cm des Zauns zur Reduzierung der Windlast offen bleiben.

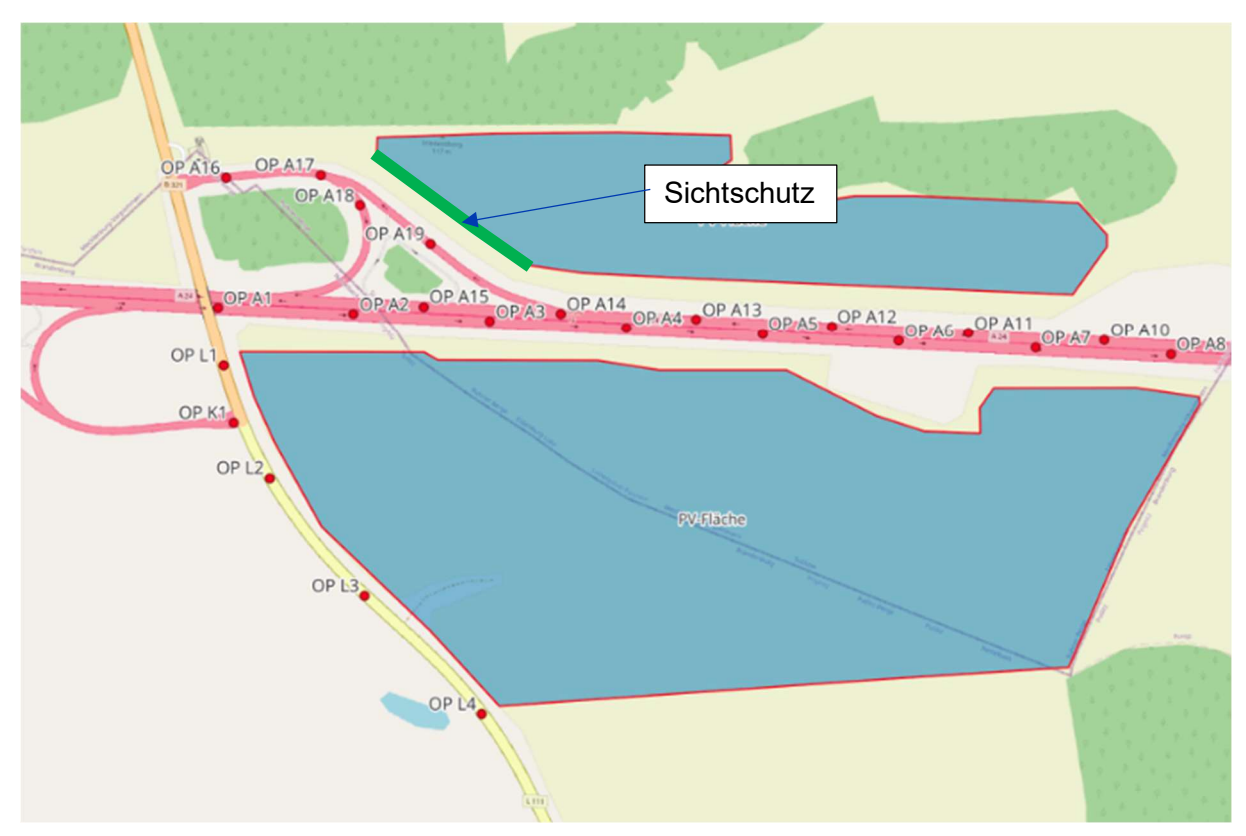


Abbildung 16: Position Sichtschutz am nördlichen PV-Feld - Quelle Karte: OpenStreetMap

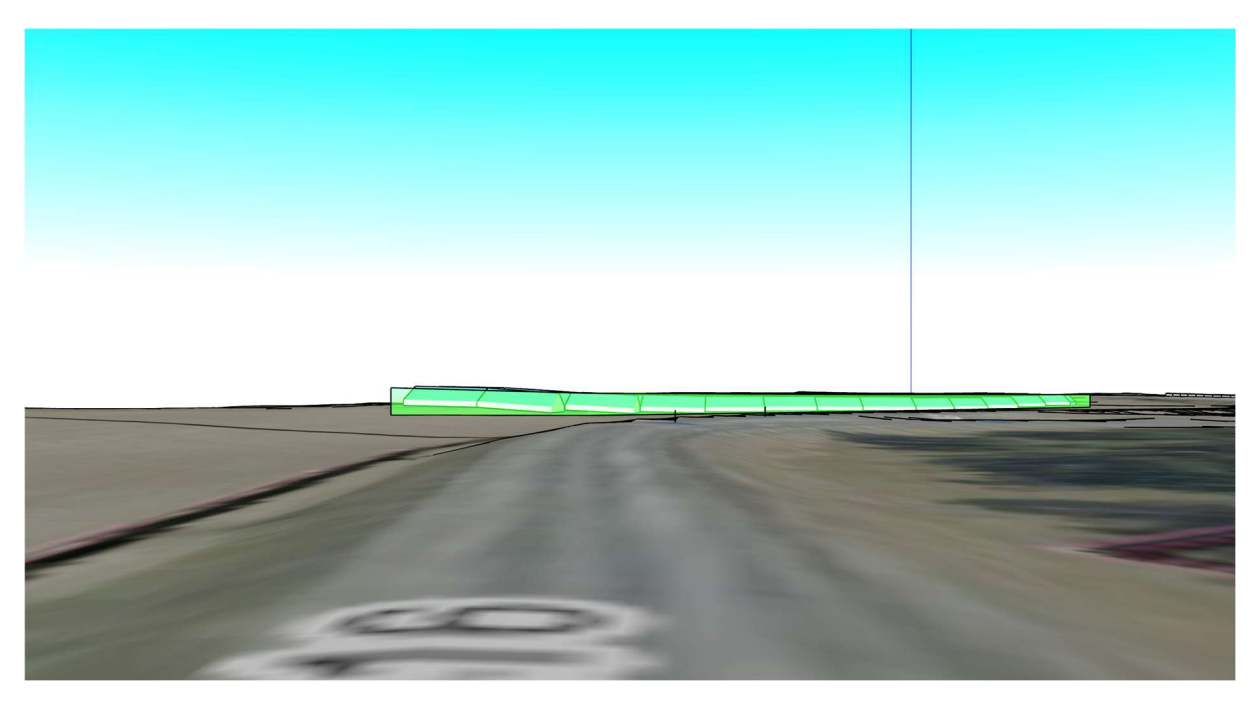


Abbildung 17: Perspektive LKW-Fahrer bei OP A16 mit Blickrichtung Osten: Der Sichtschutz (transparentes grün) blockiert die Sicht auf die Modultische.

#### 7.2.3 Bundesstraße B 321 bzw. Landesstraße L 111

Auf der B 321 bzw. L 111 werden keine relevanten Blendwirkungen auftreten. Das zentrale Sichtfeld von ± 30° bleibt stets blendfrei.

Ergänzend muss erwähnt werden, dass Fahrzeugführer vom Bereich der B 321 nordwestlich der PVA selbst ohne lokale Vegetation keinen Sichtbezug auf die PVA hätten, da Geländeerhöhungen die Sicht blockieren. Dementsprechend wurden im Nordwesten keine Simulationspunkte definiert.

#### 7.2.4 Kreuzungsbereich Ausfahrt A 24 Richtung Osten / B 312

Beim Kreuzungsbereich der Ausfahrt von der A 24 Richtung Osten und der B 321 können Fahrzeugführer, die nach Osten blicken (z. B. beim Abbiegen vor der Bundes- bzw. Landesstraße), geblendet werden. Der Blick nach Osten entspricht hier einem geradeaus gerichteten Blick. Beim Abbiegen auf die B 321 bzw. L 111 (Richtung Norden/Süden) bleibt das zentrale Sichtfeld zwar blendfrei, aber beim Blick nach Osten können stärkere Blendwirkungen im zentralen Sichtfeld auftreten. Die Situation wird im Folgenden skizziert.

Ein Sichtschutz auf der Anlagenfläche müsste hier aufgrund des Höhenunterschieds sehr hoch ausfallen, etwa 7 bis 8 Meter. Demnach könnten vorgezogene, immergrüne Pflanzen in Betracht gezogen werden. Ggf. ist es möglich, mit der Gemeinde abzustimmen, auf dem Hang eine Bepflanzung über eine Länge von ca. 45 m vornehmen zu dürfen. Entsprechend würde sich die benötigte Höhe des Sichtschutzes reduzieren. Ziel sollte es sein, auch hochsitzenden LKW-Fahrern die Sicht auf den reflektierenden Bereich der PVA zu nehmen.

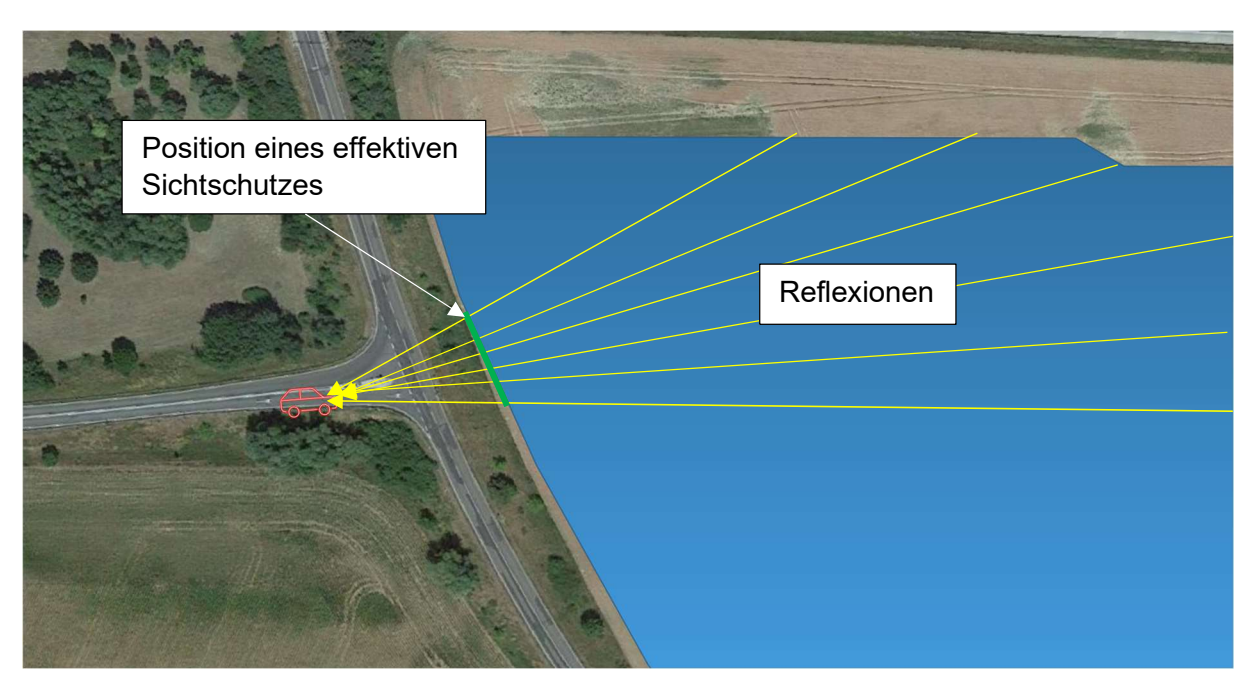


Abbildung 18: Skizze der Blendsituation an der Kreuzung - Quelle Satellitenbild: Google Earth Pro

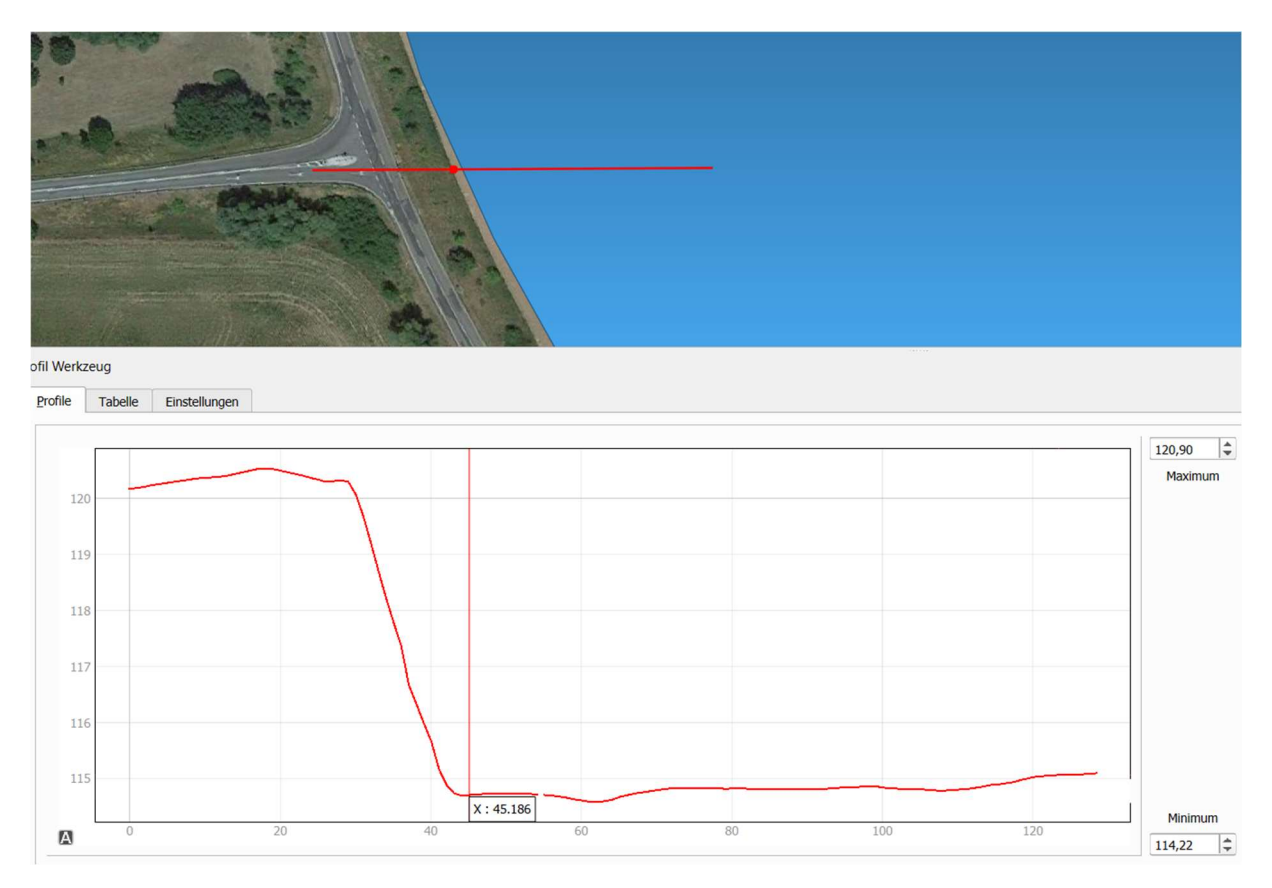


Abbildung 19: Höhenunterschied Kreuzungsbereich/PV-Anlage - Quelle Höhendaten: Landesamt für innere Verwaltung Geschäftsbereich des Ministeriums für Inneres, Bau und Digitalisierung des Landes Mecklenburg-Vorpommern

#### 8 Literaturverzeichnis

- [1] Bund/Länder-Arbeitsgemeinschaft für Immissionsschutz (LAI), *Hinweise zur Messung, Beurteilung und Minderung von Lichtimmissionen (Leitfaden)*. 2012. [Online]. Verfügbar unter: https://www.lai-immissionsschutz.de/documents/lichthinweise-2015-11-03mitformelkorrektur aus 03 2018 1520588339.pdf
- [2] K. Mertens, *Photovoltaik: Lehrbuch zu Grundlagen, Technologie und Praxis*, 5. Aufl. Carl Hanser Verlag München, 2020.
- [3] Volker Quaschning, Regenerative Energiesysteme: Technologie Berechnung Simulation, 9. Aufl. Carl Hanser Verlag München, 2015.
- [4] J. Yellowhair und C. K. Ho, "Assessment of Photovoltaic Surface Texturing on Transmittance Effects and Glint/Glare Impacts", San Diego, California, USA: American Society of Mechanical Engineers, Juni 2015, S. V002T11A003. doi: 10.1115/ES2015-49481
- [5] J. A. Duffie und W. A. Beckman, "Solar Engineering of Thermal Processes", Bd. 4, 2013.
- [6] Österreichischer Verband für Elektrotechnik (OVE), "Blendung durch Photovoltaikanlagen OVE-Richtlinie R 11-3". 2016.
- [7] R. Jurado-Piña und J. M. P. Mayora, "Methodology to Predict Driver Vision Impairment Situations Caused by Sun Glare", *Transportation Research Record*, Bd. 2120, Nr. 1, S. 12–17, Jan. 2009, doi: 10.3141/2120-02.
- [8] Jason A- Rogers, Clifford K. Ho, Andrew Mead, Angel Millan, Melissa Beben, und Gena Drechsler, "Evaluation of Glare as a Hazard for General Aviation Pilots on Final Approach". 2015. Zugegriffen: 15. April 2021. [Online]. Verfügbar unter: https://www.faa.gov/data\_research/research/med\_humanfacs/oamtechreports/2010s/me dia/201512.pdf

## Anhang A: Annahmen und Limitationen von SGHAT





#### 4. Assumptions and Limitations

Below is a list of assumptions and limitations of the models and methods used in SGHAT:

- The software currently only applies to flat reflective surfaces. For curved surfaces (e.g., focused mirrors such as parabolic troughs or dishes used in concentrating solar power systems), methods and models derived by Ho et al. (2011) [1] can be used and are currently being evaluated for implementation into future versions SGHAT.
- SGHAT does not rigorously represent the detailed geometry of a system; detailed
  features such as gaps between modules, variable height of the PV array, and support
  structures may impact actual glare results. However, we have validated our models
  against several systems, including a PV array causing glare to the air-traffic control tower
  at Manchester-Boston Regional Airport and several sites in Albuquerque, and the tool
  accurately predicted the occurrence and intensity of glare at different times and days of
  the year.
- SGHAT assumes that the PV array is aligned with a plane defined by the total heights of
  the coordinates outlined in the Google map. For more accuracy, the user should perform
  runs using minimum and maximum values for the vertex heights to bound the height of
  the plane containing the solar array. Doing so will expand the range of observed solar
  glare when compared to results using a single height value.
- SGHAT does not consider obstacles (either man-made or natural) between the
  observation points and the prescribed solar installation that may obstruct observed glare,
  such as trees, hills, buildings, etc.
- The variable direct normal irradiance (DNI) feature (if selected) scales the user-prescribed peak DNI using a typical clear-day irradiance profile. This profile has a lower DNI in the mornings and evenings and a maximum at solar noon. The scaling uses a clear-day irradiance profile based on a normalized time relative to sunrise, solar noon, and sunset, which are prescribed by a sun-position algorithm [2] and the latitude and longitude obtained from Google maps. The actual DNI on any given day can be affected by cloud cover, atmospheric attenuation, and other environmental factors.
- The ocular hazard predicted by the tool depends on a number of environmental, optical, and human factors, which can be uncertain. We provide input fields and typical ranges of values for these factors so that the user can vary these parameters to see if they have an impact on the results. The speed of SGHAT allows expedited sensitivity and parametric analyses.
- Single- and dual-axis tracking compute the panel normal vector based on the position of
  the sun once it is above the horizon. Dual-axis tracking does not place a limit on the angle
  of rotation, unless the sun is below the horizon. For single-axis tracking, a maximum
  angle of rotation can be applied to both the clockwise and counterclockwise directions.

5 | Page

Ausschnitt wurde dem SGHAT-Handbuch (Solar Glare Hazard Analysis Tool) entnommen. Das vollständige Handbuch kann unter folgendem Link gefunden werden:

https://forgesolar.com/static/docs/SGHAT3-GlareGauge\_user\_manual\_v1.pdf